

## Дослідження кінетики процесу поліконденсації вуглеводів методом інфрачервоної спектроскопії

В. А. Кузьменко, Б. І. Сухоруков

Сектор біофізики Інституту фізіології ім. О. О. Богомольця  
Академії наук УРСР, Київ

В літературі є дані про те, що процес утворення парамагнітних продуктів, виявлений при дослідженні протонізованих нуклеозидів пуринових основ та моносахаридів, зводиться до каталізованої іонами водню поліконденсації вуглеводів з утворенням полімерів з системою спряжених зв'язків [1, 3].

В цій статті ми приводимо результати досліджень інфрачервоних (ІЧ) спектрів у процесі утворення парамагнітних речовин.

### Методика досліджень

Дослідження ІЧ спектрів проводились спектрофотометром ІЧС-14 на призмі з NaCl (600—1900  $\text{cm}^{-1}$ ). Каліброка спектрофотометра здійснювалась по смугах поглинання полістеролу. ІЧ спектри продуктів у процесі поліконденсації ми досліджували в тонких таблетках, одержаних в результаті пресування порошків препаратів з КВг [6, 7]. Бромистий калій, використаний при пресуванні, кілька разів перекристалізовували і потім старанно розтирали в агатовій ступці і висушували при температурі 150—300° С протягом кількох діб. Для одержання таблеток готували суміш з 400 мг КВг і 0,6—1,2 мг досліджуваної речовини. Цю суміш переміщували і перетирали в ступці і потім рівномірно засипали в пресформу. Матриця пресформ складена з системи пластин, виготовлених із загартованої сталі. Після пресування під високим тиском з одночасною відкачкою повітря одержували прозорі таблетки прямокутної форми 25×0,8 мм і товщиною близько 0,5 мм. Звичайні умови одержання таблеток були такі: тиск — близько 8 Т/см<sup>2</sup>, час пресування — 20—30 хв, вакуум близько 10<sup>-1</sup> мм. рт. ст. Таблетки після виготовлення поміщали в спеціальні тримачі і встановлювали на спектрофотометр.

Дослідження кінетики процесу поліконденсації вуглеводів при різних температурах по зміні ІЧ спектрів були проведенні з використанням підігрівальної пічки спеціальної конструкції. Ця піч складається з діоралюмінієвого циліндра довжиною 7 см, на який намотаний ніхромовий дріт. В середній частині циліндра прорізана щілина, в яку вставляють спеціальний тримач. Піч, в яку вставляли досліджувану таблетку, встановлювали на спектрофотометр. Контроль температури здійснювався з допомогою термопар мідь-константан.

Досліджуваний протонізований вуглевод відразу після виділення його з розчину з низькими показниками pH (менше 2) запресовувався в таблетку КВг і дальший процес поліконденсації здійснювався в таблетці.

### Результати досліджень та їх обговорення

Особливу увагу при дослідженні ІЧ спектрів у процесі поліконденсації вуглеводів ми приділяли рибозі.

В ІЧ спектрі рибози в ділянці частот 1750—1500  $\text{cm}^{-1}$  виявляється смуга середньої інтенсивності з частотою 1635  $\text{cm}^{-1}$  (рис. 1, а). ІЧ спектр протонізованої рибози, зареєстрований відразу після виділення препарату в твердий стан (з розчину із значенням pH 0,6), мало відрізняється від спектра вихідної рибози (рис. 1, б). Проте в спектрі протонізованої рибози з'являється смуга слабкої інтенсивності з частотою 1738  $\text{cm}^{-1}$  і розширяються деякі смуги в ділянці скелетних коливань кільця. Смуга поглинання непротонізованої рибози з частотою 1635  $\text{cm}^{-1}$  при протонізації не змінюється за інтенсивністю і не зміщується за частотою. Якщо протонізований препарат рибози відразу після його виділення з розчину знову розчиняють, нейтралізують залишкову кислоту і потім виділяють рибозу вже з нейтрального середовища, то ІЧ спектр вихідного препарату рибози повністю відновлюється. Це

свідчить про те, що в першу ж мить після виділення препарату з кислого розчину в тверду фазу процес поліконденсації ще не розпочався і фуранозне кільце рибози ще не зруйноване, оскільки в ділянці скелетних коливань кільця ( $1000-1200 \text{ см}^{-1}$ ) ніяких змін не виникло. З порівняння IЧ спектра вихідної і протонізованої рибози відно, що спостережується в розчині циклічна форма зберігається.

Значні необоротні зміни в IЧ спектрі протонізованої рибози виявляються після початку процесу поліконденсації.

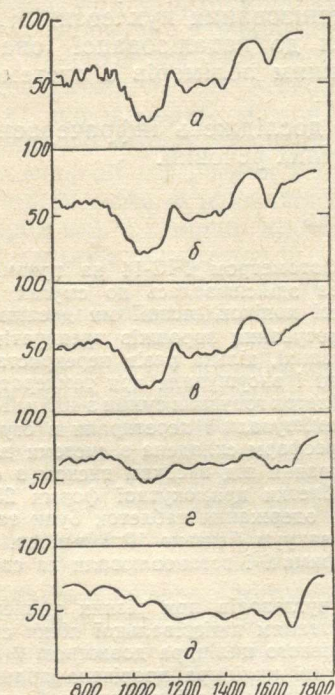


Рис. 1. Дослідження кінетики процесу поліконденсації рибози (при температурі  $70^\circ\text{C}$ , методом IЧ спектроскопії).

*a* — рибоза вихідна, *b* — рибоза протонізована, *c* і *e* — рибоза в процесі поліконденсації, *d* — кінцевий продукт поліконденсації рибози.

По вертикалі — пропускання в процентах, по горизонталі — інтенсивність в  $\text{cm}^{-1}$ .

інтенсивності смуг з частотою загальна якісна картина змін інтенсивності смуг з частотою  $1738 \text{ см}^{-1}$ . На рис. 2 зображена загальна картина змін інтенсивностей цих смуг в процесі поліконденсації.

Цю картину змін IЧ спектрів в процесі поліконденсації рибози можна пояснити так.

Смуга з частотою  $1738 \text{ см}^{-1}$ , яка виявляється відразу після виділення рибози з кислого розчину, можна, напевно, віднести до деформаційних коливань протонізованих груп OH. Інтенсивність цієї слабкої смуги практично не змінюється в процесі перетворення протонізованої рибози, і тільки на більш пізніх етапах процесу поліконденсації вона поступово зникає.

Смуга з частотою  $1665 \text{ см}^{-1}$ , напевно, належить до коливань не-

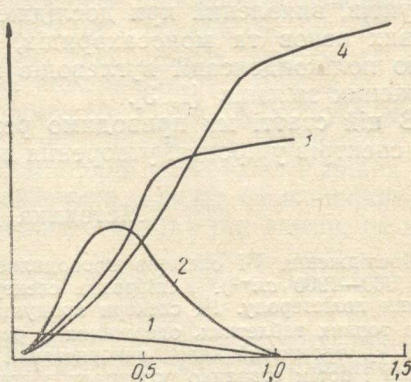


Рис. 2. Зміна інтенсивності смуг поглинання в процесі поліконденсації рибози.  
1 — зміна інтенсивності смуги  $1738 \text{ см}^{-1}$ ,  
2 —  $1665 \text{ см}^{-1}$ , 3 —  $1580 \text{ см}^{-1}$ , 4 —  $1720 \text{ см}^{-1}$ .  
По вертикалі — інтенсивність, по горизонталі — час у годинах.

На рис. 1, *b*, *c*, *d*, *e* наведені IЧ спектри рибози в процесі поліконденсації, проведений при температурі  $70^\circ\text{C}$ .

Як видно з рис. 1, в процесі поліконденсації рибози в ділянці частот  $1750-1500 \text{ см}^{-1}$ , крім частоти  $1738 \text{ см}^{-1}$ , з'являються смуги поглинання з частотами  $1720$ ,  $1665$ ,  $1580$  і  $1545 \text{ см}^{-1}$ . Дуже істотно, що для цих смуг швидкість зміни інтенсивності різна. Інтенсивність смуги з частотою  $1665 \text{ см}^{-1}$  спочатку дуже різко посилюється, потім уповільнюється і нарешті починає знижуватись. Зменшення інтенсивності цієї смуги супроводжується значним підвищеннем смуги  $1720$  і  $1580 \text{ см}^{-1}$ . На рис. 2 зображена зміна інтенсивностей цих смуг в процесі поліконденсації.

спряжених C=C зважаючи, слід віднести

Смуга з частотою в процесі поліконденсації карбонільного зв'язку

В процесі поліконденсації  $1000-1200 \text{ см}^{-1}$

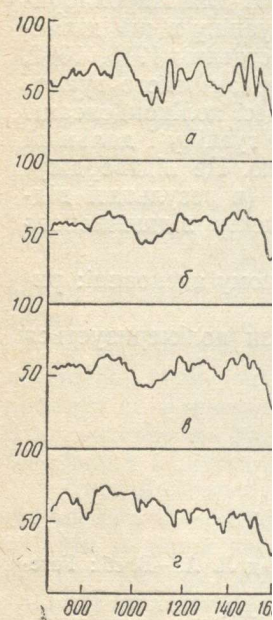


Рис. 3. Дослідження кінетики процесу поліконденсації гуанозину (при методом IЧ спектроскопії).  
*a* — гуанозин вихідний, *b* — гуанозин протонізований, *c* і *d* — гуанозин у процесі поліконденсації.

По вертикалі — пропускання в процентах, по горизонталі — інтенсивність в  $\text{cm}^{-1}$ .

У високочастотному спектрі вихідного гуанозину зустрічається смуга з частотою  $1692 \text{ см}^{-1}$ , а та з частотою  $1632 \text{ см}^{-1}$  ( $1000-1200 \text{ см}^{-1}$ ) має інтенсивності  $1180$ ,  $1124$ ,  $1080 \text{ см}^{-1}$ . В процесі поліконденсації гуанозину, виділеної на рисунку, IЧ спектр змінюється, змінюючись з  $1692 \text{ см}^{-1}$  до  $1632 \text{ см}^{-1}$ , та з  $1632 \text{ см}^{-1}$  до  $1500 \text{ см}^{-1}$ , так і в ділянці, проте, поряд з змінами процесом виділення, відзначається, що IЧ спектр змінюється з  $1632 \text{ см}^{-1}$  до  $1500 \text{ см}^{-1}$  його виділення з розчину повільним випарюванням, відрізняються один від іншого методом ліофільної

спряжених С=С зв'язків [4, 5], а частоти 1580 і 1545  $\text{см}^{-1}$ , на наш погляд, слід віднести до коливань з спряженими С—С зв'язками [4].

Смуга з частотою 1720  $\text{см}^{-1}$ , інтенсивність якої підвищується в процесі поліконденсації, напевно, відповідає коливанню неспряженого карбонільного зв'язку.

В процесі поліконденсації значні зміни виявляються також і в ділянці 1000—1200  $\text{см}^{-1}$  (рис. 1), тобто в ділянці скелетних коливань кільця. Це свідчить про те, що з початку процесу відбувається руйнування фуранозного кільця рибози.

Нами були також, проведені дослідження ІЧ спектрів у процесі поліконденсації нуклеозидів пуринових основ, зокрема гуанозину. Як і в дослідах з рибозою, процес провадився при температурі 70° С. На рис. 3 наведені ІЧ спектри вихідного гуанозину (a), протонізованого гуанозину (b), а також спектри, зняті на різних стадіях процесу поліконденсації (в, г).

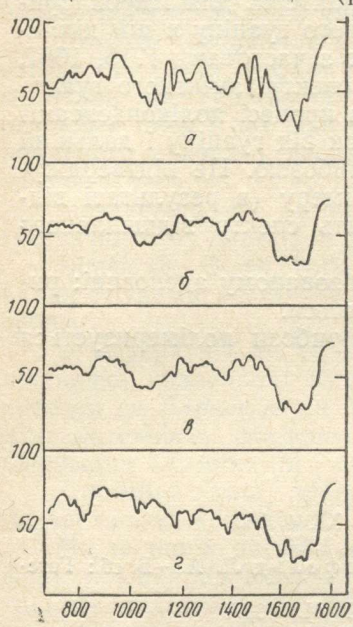


Рис. 3. Дослідження кінетики процесу поліконденсації гуанозину (при 70° С, методом ІЧ спектроскопії).  
а — гуанозин вихідний, б — гуанозин протонізований, в і г — гуанозин у процесі поліконденсації.

По вертикальні — пропускання в процентах, по горизонтальні — інтенсивність в  $\text{см}^{-1}$ .

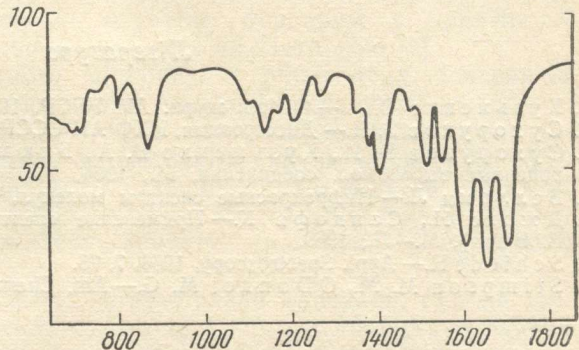


Рис. 4. ІЧ спектр протонізованого гуаніну.  
По вертикальні — пропускання в процентах, по горизонтальні — інтенсивність в  $\text{см}^{-1}$ .

У високочастотній ділянці кратних зв'язків 1750—1500  $\text{см}^{-1}$  у спектрі вихідного гуанозину спостерігається інтенсивна смуга з частотою 1692  $\text{см}^{-1}$ , а також смуга з частотою 1730  $\text{см}^{-1}$  і широка смуга з частотою 1632  $\text{см}^{-1}$ . В ділянці скелетних коливань рибозного кільця (1000—1200  $\text{см}^{-1}$ ) молекулярна форма гуанозину характеризується частотами 1180, 1124, 1084, і 1050  $\text{см}^{-1}$ . На рис. 3, б представлена спектр гуанозину, виділеного з розчину з низьким значенням рН. Як видно з рисунка, ІЧ спектр протонізованого гуанозину значно відрізняється від ІЧ спектра вихідного препарату. Добре видно зміна як в ділянці 1750—1500  $\text{см}^{-1}$ , так і в ділянці скелетних коливань рибозного кільця. Ці зміни, проте, поряд з самим фактом протонізації могли бути викликані самим процесом виділення гуанозину з розчину. В літературі [2] показано, що ІЧ спектр гуанозину в твердому становищі залежить від умов його виділення з розчину. Так, ІЧ спектр кристалів гуанозину, одержаних повільним випаровуванням розчинника і методом ліофільної сушки, відрізняються один від одного. З дебаеграм цих структур [2] видно, що методом ліофільної сушки одержуються більш дефектні кристали. Від